
СИСТЕМНЫЙ АНАЛИЗ И МАТЕМАТИЧЕСКОЕ МОДЕЛИРОВАНИЕ

УДК 539.194: 541.183.12

СТРУКТУРНО-ДИНАМИЧЕСКИЕ МОДЕЛИ ТАБУНА

М.Д. Элькин, С.И. Татаринов, А.С. Кладиева

На основании модельных неэмпирических расчетов параметров адабатического потенциала табуна показана возможность предсказательных расчетов геометрии ИК- и КР-спектров высокотоксичных фосфорорганических азотосодержащих соединений.

Ключевые слова: структурно-динамическая модель, колебательные спектры, табун, DFT-методы, адабатический потенциал, ангармоничность.

Key words: structural-dinamic model, vibrational spectra, tabun, DFT-methods, adiabatic potential, anharmonicity.

Табун (Ethyl N,N-dimethylphosphoroamidocyanide) – специфическое высокотоксичное фосфорорганическое соединение (рис.), представляющее известную экологическую угрозу. Табун входит в список веществ, находящихся под контролем международной Конвенции о запрещении химического оружия.

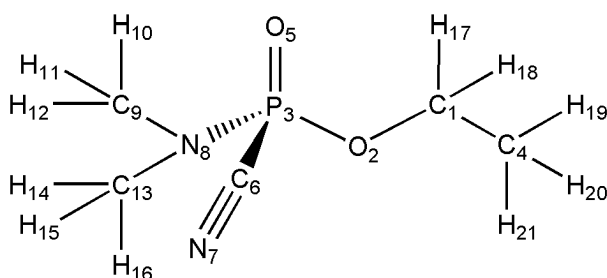


Рис. Молекулярная диаграмма табуна

Для изучения свойств высокотоксичных соединений в научных целях Конвенция разрешает использовать спектральные методы. Эти методы позволяют идентифицировать соединения по их структурным формулам, исследовать молекулярную динамику, оценивать силовые и электрооптические молекулярные параметры.

По понятным причинам спектральный эксперимент подобных соединений не может быть широко представлен на страницах периодической печати. Следовательно, использование классического подхода для получения информации о структуре соединения и его молекулярных параметрах из решения обратных спектральных задач [7] затруднено. Причины известны. Они подробно изложены, например, в диссертации [1] и монографии [6]. Табун не является исключением. Для этого соединения найденный нами в литературе эксперимент по колебательным спектрам представлен в виде спектрограммы ограниченного частотного диапазона [11]. Результаты его обработки в виде, необходимом для теоретической интерпретации, представлены нами в табл. 1.

ПРИКАСПИЙСКИЙ ЖУРНАЛ:
управление и высокие технологии № 2 (10) 2010

Таблица 1

**Частоты полос поглощения в максимумах (ν_{max}) и оценки интенсивностей (I)
табуна (А) и гидролизованного табуна (В)**

| А | | В | | А | | В | | А | | В | |
|-------------|--------|-------------|--------|-------------|-------|-------------|---------|-------------|-------|-------------|-------|
| ν_{max} | I | ν_{max} | I | ν_{max} | I | ν_{max} | I | ν_{max} | I | ν_{max} | I |
| — | — | 908 | сл. | 1062 | пер. | — | — | 1250 | пер. | 1250 | пер. |
| 922 | сл. | — | — | — | — | 1078 | ср. | 1262 | пер. | 1265 | ср.ш. |
| 948 | о.сл. | 948 | пер. | 1098 | сл. | 1095 | сл. | 1290 | пл. | 1295 | пер. |
| 962 | сл. | 954 | сл. | 1108 | сл. | 1109 | ср. | 1318 | сл.ш. | 1320 | о.сл. |
| 973 | сл. | 967 | о.сл. | 1120 | о.сл. | 1123 | пл. | 1370 | о.сл. | 1368 | о.сл. |
| 993 | ср.ш. | 998 | сл. | 1145 | о.сл. | — | — | 1399 | о.сл. | 1395 | сл. |
| — | — | 1005 | сл. | 1164 | сл. | 1162 | сл. | 1449 | пл. | 1445 | сл. |
| 1015 | пл.ср. | — | — | 1175 | пл. | 1178 | пл. | 1458 | сл. | — | — |
| 1025 | о.с. | 1020 | сл.пл. | — | — | 1193 | о.сл.ш. | 1468 | сл. | 1470 | ср.ш. |
| 1030 | пл. | 1030 | пер. | 1204 | о.сл. | 1204 | пер. | 1478 | сл. | — | — |
| — | — | 1040 | о.с. | 1230 | пер. | — | — | 1490 | о.сл. | — | — |
| 1050 | пер. | 1055 | пер. | 1238 | ср. | — | — | | | | |

Примечание. Точность определения частот $\pm 2 \text{ см}^{-1}$, плеч и перегибов $\pm 5 \text{ см}^{-1}$. Обозначения формы и интенсивностей полос: пл. – плечо, пер. – перегиб; ш. – широкая, о.ш. – очень широкая, с. – сильная, о.с. – очень сильная,ср. – средняя, сл. – слабая, о.сл. – очень слабая.

Теоретическая интерпретация требует осуществления предсказательных расчетов геометрии и параметров адиабатического потенциала соединения. Такими возможностями обладают методы молекулярного моделирования. Теоретической основой этого направления в физике молекул в настоящее время являются неэмпирические квантовые методы расчета геометрической и электронной структуры молекулярных систем. В первую очередь, это методы функционала плотности (DFT-методы) [3], компьютерная реализация которых позволяет осуществлять расчет ангармонических параметров адиабатического потенциала молекулы [12].

Анализ модельных расчетов. В молекуле табуна можно вести речь о двух молекулярных фрагментах. Первый из них, назовем его этаноловым, через атом кислорода соединен с фрагментом $P(N(CH_3)_2)O(C\equiv N)$, отвечающим за токсичные свойства соединения. Естественным является предположение о проявлении в колебательном спектре табуна полос, идентифицируемых как колебания этанолового фрагмента.

Для интерпретации колебательных состояний токсичного фрагмента табуна можно использовать информацию, представленную в монографии [7] для диметиламина ($NH(CH_3)_2$) и ацетонитрила ($H_3C\equiv N$).

Поэтому предварительным этапом проведенного исследования стали модельные расчеты молекул этанола и диметиламина, позволившие определиться с базисами неэмпирических квантовых расчетов геометрии и колебательных состояний в рамках метода функционала плотности DFT/B3LYP.

Оптимизация геометрии молекулы этанола (симметрия C_s) дает следующие значения для длин валентных связей и валентных углов: $R_{OH} = 0,96 \text{ \AA}$, $R_{CH} = 1,43 \text{ \AA}$, $R_{CC} = 1,52 \text{ \AA}$, $R_{CH_2} = 1,10 \text{ \AA}$, $R_{CH_3} = 1,09 \text{ \AA}$; $A_{COH} = 107,8\text{--}109,5^\circ$. От соответствующих значений в метаноле [7], определенных из микроволнового эксперимента, отличие составляет $0,005 \text{ \AA}$ для валентных связей и $1,5^\circ$ для валентных углов. В таких же пределах изменяются значения геометрических параметрах при смене базиса расчета от 6–31 G(d) до 6–311++ G(d, p). Для метильной и алкильной групп отклонение значений валентных углов от тетраэдрических значений не превышает $2,7^\circ$.

СИСТЕМНЫЙ АНАЛИЗ И МАТЕМАТИЧЕСКОЕ МОДЕЛИРОВАНИЕ

Молекула диметиламина имеет симметрию C_s [7]. Оптимизация геометрии приводит к следующим значениям длин валентных связей и углов: $R_{NC} = 1,46 \text{ \AA}$, $R_{NH} = 1,01 \text{ \AA}$, $R_{CH} = 1,09 \text{ \AA}$; $A_{CNH} = 109,1\text{--}110^\circ$, $A_{CNC} = 112,7\text{--}113,5^\circ$. Электронографические данные из работы [7] совпадают с приведенными расчетными данными для длин связей; для валентных углов эксперимент приводит следующую оценку: $A_{CNH} = 112^\circ$, $A_{CNC} = 116^\circ$, $A_{NCH} = 109,5^\circ$. Расчетные значения валентных углов метильной группы меняются в диапазоне $107,4\text{--}114,4^\circ$. Влияние базиса расчета (от 6–31 G(d, p) до 6–311++ G(d, p)) оказывается на четвертой значащей цифре для валентных связей и на третьей значащей цифре для валентных углов.

Проведенные модельные расчеты геометрии и фундаментальных колебательных состояний этанола и диметиламина дают основание использовать методы функционала плотности (DFT-методы [12]) для построения структурно-динамических моделей табуна.

Оптимизация геометрии осуществлялась для различных ориентаций токсичного фрагмента относительно мостика СОР. В качестве критерия выбора возможной конформационной модели табуна являлся факт воспроизведения крутильных колебаний (внутреннее вращение отдельных молекулярных фрагментов относительно друг друга) [7]. Выше это имело место для этанола и диметиламина.

Численный эксперимент, осуществляемый с шагом 60° для двугранного угла $D(1,2,3,5)$, приводит к трем конформационным моделям, представить которые позволяют данные по двугранным углам (табл. 2). Они определяют положение этанолового и токсично-го фрагментов ($\text{в } {}^\circ$) относительно плоскости мостика СОР. Данные соответствуют базису 6–311 G(d, p). Расчетные значения длин валентных связей: $R_{CC} = 1,52 \text{ \AA}$, $R_{CO} = 1,46 \text{ \AA}$, $R_{OP} = 1,6 \text{ \AA}$, $R_{P=O} = 1,48 \text{ \AA}$, $R_{PC} = 1,81 \text{ \AA}$, $R_{PN} = 1,65 \text{ \AA}$, $R_{C\equiv N} = 1,16 \text{ \AA}$, $R_{NC} = 1,47 \text{ \AA}$. Расхождение при смене модели или базиса $= \sim 0,01 \text{ \AA}$.

Значения валентных углов табуна для каждой информационной модели приведены в табл. 2. Величины валентных углов для метильных групп отличаются от тетраэдрических значений не более чем на 3° . При смене базиса расхождение соответствующих значений валентных углов не выходит за указанные пределы для конкретной конформационной модели.

Таблица 2

Двугранные и валентные углы конформационных моделей табуна

| Углы | M1 | M2 | M3 | Углы | M1 | M2 | M3 |
|---------------|--------|-------|--------|----------------|-------|--------|--------|
| $D(4,1,2,3)$ | 88,9 | -90,4 | 103,5 | $D(2,1,4,20)$ | 57,0 | -176,2 | 176,2 |
| $D(17,1,2,3)$ | -150,4 | 33,2 | -136,5 | $D(2,1,4,21)$ | 176,3 | -56,8 | -63,7 |
| $D(18,1,2,3)$ | -34,8 | 149,0 | -20,6 | $D(17,1,4,19)$ | 180,0 | -58,3 | -59,7 |
| $D(1,2,3,5)$ | -52,8 | 51,6 | -177,1 | $D(17,1,4,20)$ | -59,3 | 61,6 | 59,8 |
| $D(1,2,3,6)$ | 67,4 | 172,5 | 61,1 | $D(17,1,4,21)$ | 60,1 | -179,0 | 179,9 |
| $D(1,2,3,8)$ | 177,5 | -78,0 | -47,1 | $D(13,8,9,10)$ | 178,4 | 179,7 | -168,7 |
| $D(2,3,8,9)$ | 157,5 | 159,6 | 68,3 | $D(13,8,9,11)$ | -60,5 | -59,1 | -50,4 |
| $D(2,3,8,13)$ | -43,6 | -46,1 | -107,8 | $D(13,8,9,12)$ | 59,6 | 60,8 | 69,4 |
| $D(2,1,4,19)$ | -63,8 | 63,9 | 56,6 | | | | |
| A_{OCC} | 111,0 | 111,0 | 110,4 | $A_{O=PN}$ | 116,3 | 113,9 | 114,5 |
| A_{COP} | 121,7 | 121,0 | 127,9 | A_{CPN} | 106,9 | 106,7 | 102,1 |
| $A_{OP=O}$ | 119,3 | 119,3 | 111,2 | A_{PNC} | 118,9 | 119,3 | 119,1 |
| A_{OPC} | 100,9 | 96,8 | 101,1 | A_{PNC} | 122,4 | 121,1 | 125,4 |
| A_{OPN} | 102,0 | 105,5 | 112,6 | A_{CNC} | 115,5 | 115,0 | 115,4 |
| $A_{O=PC}$ | 109,8 | 112,8 | 114,3 | | | | |

ПРИКАСПИЙСКИЙ ЖУРНАЛ: управление и высокие технологии № 2 (10) 2010

Результаты модельных расчетов фундаментальных колебательных состояний этанола сопоставлены в табл. 3 с экспериментальными данными, приведенными в работе [13]. Несоответствие в частотах ($\sim 250 \text{ см}^{-1}$) для валентного колебания связи O–H объясняется условиями эксперимента. Он осуществлен для кристаллического состояния этанола, в котором имеет место межмолекулярное взаимодействие по типу водородной связи [2] с участием группы OH. Хорошее согласие с экспериментом для остальных фундаментальных состояний достигается использованием ангармонического приближения теории молекулярных колебаний [4]. Такая возможность реализована в программном продукте [12]. Методика ее применения для кислородосодержащих соединений предложена в работах [4, 5, 10].

Кроме того, в табл. 3 представлены результаты модельных расчетов колебательных состояний диметиламина в различных базисах. Имеет место хорошее совпадение экспериментальных и рассчитанных значений частот фундаментальных колебаний при учете ангармонизма колебаний. Экспериментальные данные, приведенные в табл. 3, соответствуют ИК-эксперименту для газа [7]. Расхождение с экспериментом для диметиламина в жидким состоянии (КР-спектры) для деформационных колебаний метильных групп достигает 16 см^{-1} , что, впрочем, удовлетворяет критерию идентификации соединений в рамках модельных расчетов, предложенных авторами работы [5]. Выбор базиса расчета не имеет принципиального значения для процедуры интерпретации колебаний, однако предпочтение следует отдать базисам 6–311 G(d, p), 6–311+ G(d, p), 6–311 G++(d, p), для которых достигается лучшее совпадение с экспериментом в высокочастотной части диапазона (колебания q_{NH} , q_{CH}).

Таблица 3
Интерпретация колебательных состояний этанола и диметиламина

| Форма колеб | $v_{\text{эксп}} [7]$ | Минимум | | | | Максимум | | | |
|--|-----------------------|---------|------------------|------|------|----------|------------------|------|-------|
| | | v_e | $v_{\text{ане}}$ | ИК | КР | v_e | $v_{\text{ане}}$ | ИК | КР |
| Этанол ($\text{C}_2\text{H}_5\text{OH}$) | | | | | | | | | |
| q_{OH} | 3336 о.с. | 3758 | 3581 | 10,8 | 105 | 3843 | 3676 | 28,0 | 116 |
| q_{CH_3} | 2950 с. | 3098 | 2957 | 29,8 | 62,2 | 3118 | 2973 | 35,7 | 65,4 |
| q_{CH_3} | 2920 с. | 3032 | 2911 | 16,6 | 143 | 3051 | 2939 | 18,8 | 156 |
| q_{CH_2} | 2880 с. | 2978 | 2843 | 71,2 | 120 | 2997 | 2870 | 78,6 | 128,4 |
| β_{CH_2} | 1480 сл. | 1526 | 1484 | 1,52 | 3,30 | 1546 | 1503 | 1,77 | 3,92 |
| β_{CH_3} | 1474 с. | 1500 | 1458 | 3,21 | 12,5 | 1522 | 1481 | 4,15 | 14,5 |
| β_{CH_2} | 1422 сп. | 1448 | 1396 | 13,3 | 3,08 | 1463 | 1414 | 18,5 | 3,62 |
| β_{CH_3} | 1381 с. | 1404 | 1371 | 0,44 | 0,08 | 1421 | 1386 | 2,06 | 0,25 |
| β_{COH} | 1273 сп. | 1258 | 1224 | 68,8 | 3,20 | 1272 | 1240 | 76,2 | 4,03 |
| β_{CH_2} | 1099 с. | 1094 | 1071 | 22,2 | 6,87 | 1104 | 1082 | 29,1 | 7,29 |
| Q_{CO} | 1050 с. | 1032 | 1005 | 65,1 | 4,10 | 1038 | 1012 | 69,7 | 4,27 |
| β_{CH_3} | 880 с. | 897 | 879 | 14,2 | 5,85 | 903 | 886 | 14,9 | 6,46 |
| β_{CCO} | 433 сп. | 418 | 415 | 12,2 | 0,34 | 418 | 418 | 13,3 | 0,36 |
| q_{CH_3} | 2975 с. | 3105 | 2964 | 32,4 | 44,4 | 3126 | 2979 | 39,2 | 47,5 |
| q_{CH_2} | 2880 с. | 3004 | 2860 | 53,0 | 110 | 3024 | 2871 | 59,2 | 113 |
| β_{CH_3} | 1450 сп. | 1482 | 1443 | 7,10 | 8,75 | 1506 | 1466 | 7,73 | 9,93 |
| β_{CH_2} | 1273 сп. | 1299 | 1266 | 0,06 | 8,09 | 1309 | 1276 | 0,11 | 9,26 |
| β_{CH_2} | 1149 о.сл. | 1176 | 1143 | 3,73 | 0,65 | 1186 | 1156 | 3,91 | 0,88 |
| β_{CH_2} | 802 сл. | 821 | 815 | 0,04 | 0,15 | 827 | 820 | 0,16 | 0,19 |
| xx_{OH} | — | 271 | 263 | 58,2 | 1,34 | 299 | 313 | 117 | 1,86 |
| xx_{CC} | — | 232 | 244 | 33,3 | 0,09 | 245 | 276 | 78,8 | 0,61 |

СИСТЕМНЫЙ АНАЛИЗ И МАТЕМАТИЧЕСКОЕ МОДЕЛИРОВАНИЕ

| Диметиламин ($\text{HN}(\text{CH}_3)_2$) | | | | | | | | | |
|--|------|------|------|-------|------|------|------|------|------|
| q_{NH} | 3339 | 3511 | 3347 | 0,13 | 88,8 | 3533 | 3371 | 1,83 | 93,5 |
| q_{CH} | 2961 | 3089 | 2946 | 36,1 | 91,5 | 3118 | 2979 | 48,4 | 102 |
| q_{CH} | 2912 | 3042 | 2907 | 49,2 | 157 | 3070 | 2943 | 61,3 | 190 |
| q_{CH} | 2847 | 2918 | 2744 | 154 | 196 | 2946 | 2805 | 193 | 289 |
| α_{CH} | 1450 | 1517 | 1475 | 2,19 | 10,6 | 1548 | 1504 | 11,1 | 23,2 |
| α_{CH} | 1460 | 1494 | 1450 | 8,29 | 0,80 | 1525 | 1484 | 13,3 | 2,02 |
| α_{CH} | 1412 | 1467 | 1435 | 0,94 | 3,53 | 1496 | 1465 | 1,35 | 8,23 |
| β_{CH} | 1243 | 1264 | 1229 | 0,07 | 0,89 | 1284 | 1250 | 0,32 | 2,62 |
| β_{CH} | 1137 | 1181 | 1149 | 6,40 | 0,65 | 1202 | 1174 | 8,10 | 3,11 |
| Q_{CN} | 930 | 936 | 915 | 1,58 | 6,22 | 955 | 934 | 4,90 | 8,27 |
| β_{CNH} | 724 | 760 | 700 | 118 | 1,97 | 796 | 744 | 127 | 3,90 |
| γ_{CNC} | 383 | 382 | 376 | 5,81 | 0,33 | 388 | 382 | 6,54 | 0,79 |
| xx | 257 | 261 | 245 | 2,70 | 0,24 | 271 | 258 | 3,10 | 0,27 |
| q_{CH} | 2961 | 3088 | 2946 | 27,1 | 63,1 | 3118 | 2978 | 33,6 | 71,5 |
| q_{CH} | 2912 | 3041 | 2907 | 24,6 | 15,9 | 3069 | 2936 | 31,2 | 19,5 |
| q_{CH} | 2802 | 2912 | 2728 | 47,4 | 17,6 | 2939 | 2809 | 53,5 | 33,5 |
| α_{CH} | 1496 | 1517 | 1475 | 0,70 | 6,84 | 1545 | 1504 | 15,1 | 32,0 |
| α_{CH} | 1479 | 1487 | 1445 | 2,46 | 9,88 | 1513 | 1480 | 6,67 | 40,3 |
| α_{CH} | 1450 | 1476 | 1433 | 6,36 | 5,92 | 1501 | 1461 | 7,26 | 15,2 |
| β_{CH} | 1412 | 1442 | 1411 | 0,92 | 4,50 | 1466 | 1436 | 3,43 | 9,97 |
| β_{CH} | 1137 | 1168 | 1132 | 30,95 | 1,39 | 1184 | 1150 | 33,1 | 1,47 |
| β_{CH} | 1082 | 1098 | 1078 | 0,00 | 4,06 | 1112 | 1093 | 0,11 | 9,08 |
| Q_{CN} | 1024 | 1036 | 1020 | 8,79 | 0,16 | 1046 | 1032 | 10,1 | 0,52 |
| xx | 230 | 231 | 214 | 0,11 | 0,27 | 245 | 230 | 0,20 | 0,49 |

При щели в 10 см^{-1} (по умолчанию [12]) количество ангармонических резонансов достигает 15-ти для Ферми резонансов и 6-ти для Дарлинга-Деннисона [14]. Их учет приводит к смещению фундаментальных полос, которое не превышает соответствующие смещения, полученные в рамках адиабатической теории возмущения [2].

Результаты модельных расчетов колебательных состояний первой конформационной модели табуна в различных атомных базисах приведены в табл. 4. Для второй конформационной модели различия, выходящие за пределы критерия идентификации фрагментов [5], касаются колебаний, интерпретированных как валентное колебание Q_{PC} и деформационные колебания β_{PN} , $\beta_{\text{C}\equiv\text{N}}$. В табл. 3 они помечены звездочками в первом столбце. Для валентного колебания различие составляет порядка 30 см^{-1} , для деформационных – около 20 см^{-1} . Для третьей конформационной модели расхождение в $\sim 40 \text{ см}^{-1}$ имеет место для ряда колебаний низкочастотного диапазона (ниже 700 см^{-1}). Спектральные полосы этого диапазона интерпретируются как колебания токсичного фрагмента. При этом качественная оценка интенсивностей сохраняется. При наличии эксперимента в данной частотной области можно делать вывод о доминирующем присутствии того или иного конформера табуна.

Для этанолового фрагмента совпадение расчетных значений частот фундаментальных колебаний с имеющимся экспериментом (табл. 1) следует считать удовлетворительным, если учесть, что расчет проведен для свободной молекулы. Для токсичного фрагмента экспериментальными данными для диапазона ниже 900 см^{-1} мы не располагаем, а потому приведенные в таблице расчетные данные следует рассматривать как предсказательные. Отметим характеристичность валентного колебания связи $\text{C}\equiv\text{N}$ [7], а также сильные по интенсивности

ПРИКАСПИЙСКИЙ ЖУРНАЛ:
управление и высокие технологии № 2 (10) 2010

в ИК-спектрах валентные колебания связей СС, СО и ОР мостика СОР, а также связи Р=О токсичного фрагмента. Указанные колебания аналогичным образом проявляются в ИК-спектрах зарина и зомана [8], что может служить признаком спектральной идентификации фосфорорганических соединений – GA, GB, GD-агентов [8]. Сильное по интенсивности в КР-спектре валентное колебание связи C≡N идентифицирует среди них GA-агент (молекулу табуна).

Таблица 4

Интерпретация колебательных состояний табуна

| Форма колеб | $\nu_{\text{эксп}}$ [7*, 11] | Минимум | | | | Максимум | | | |
|--|---------------------------------|---------|--------------------|------|------|----------|--------------------|------|------|
| | | ν_e | $\nu_{\text{анэ}}$ | ИК | КР | ν_e | $\nu_{\text{анэ}}$ | ИК | КР |
| Этаноловый фрагмент | | | | | | | | | |
| q_{CH} | | 3130 | 2987 | 16,4 | 10,5 | 3158 | 3011 | 30,7 | 13,1 |
| q_{CH} | 2950* | 3104 | 2963 | 13,6 | 83,6 | 3128 | 2975 | 29,8 | 104 |
| q_{CH} | | 3071 | 2925 | 3,71 | 27,4 | 3095 | 2948 | 6,68 | 33,9 |
| q_{CH} | 2920* | 3048 | 2914 | 16,9 | 74,4 | 3069 | 2943 | 18,5 | 80,0 |
| q_{CH} | | 3038 | 2964 | 12,9 | 122 | 3063 | 2972 | 16,1 | 149 |
| α | 1490 | 1527 | 1483 | 6,07 | 16,8 | 1552 | 1497 | 12,0 | 30,0 |
| α | 1478, 1480* | 1524 | 1485 | 3,26 | 2,41 | 1549 | 1496 | 7,40 | 4,68 |
| α | 1468, 1474* | 1504 | 1453 | 5,75 | 1,37 | 1530 | 1477 | 24,4 | 14,6 |
| α | 1458 | 1503 | 1464 | 2,93 | 6,91 | 1530 | 1472 | 13,5 | 17,3 |
| α | 1490 | 1502 | 1454 | 6,67 | 2,23 | 1527 | 1469 | 20,1 | 13,3 |
| α, β | 1478 | 1493 | 1444 | 0,82 | 17,0 | 1515 | 1462 | 1,23 | 26,5 |
| α, β | 1468 | 1485 | 1450 | 4,87 | 12,8 | 1514 | 1462 | 7,50 | 21,4 |
| α, β | 1458 | 1475 | 1439 | 0,18 | 6,52 | 1496 | 1452 | 0,36 | 9,75 |
| β, α | 1449 | 1449 | 1416 | 0,07 | 6,14 | 1469 | 1429 | 0,17 | 10,7 |
| β, α | 1399 | 1425 | 1392 | 22,6 | 2,07 | 1448 | 1401 | 24,5 | 5,18 |
| β, α | 1370 | 1402 | 1373 | 1,79 | 0,24 | 1419 | 1378 | 5,77 | 0,57 |
| β | 1318 | 1339 | 1304 | 83,0 | 1,01 | 1351 | 1313 | 91,7 | 1,66 |
| β, α | 1290, 1262 | 1325 | 1294 | 10,7 | 6,99 | 1336 | 1296 | 14,7 | 11,1 |
| β, α | 1204, 1230 | 1192 | 1171 | 18,2 | 0,82 | 1206 | 1176 | 19,8 | 1,49 |
| β | 1164 | 1171 | 1139 | 1,78 | 0,46 | 1184 | 1151 | 2,12 | 1,23 |
| β | 1145 | 1124 | 1097 | 0,73 | 2,44 | 1137 | 1111 | 1,02 | 4,31 |
| β | 1108 | 1117 | 1093 | 13,8 | 3,87 | 1129 | 1097 | 20,7 | 4,25 |
| β | 1098 | 1087 | 1060 | 8,63 | 5,38 | 1100 | 1070 | 12,2 | 7,12 |
| β | 802* | 818 | 818 | 1,20 | 1,14 | 823 | 820 | 1,45 | 1,32 |
| Токсичный фрагмент | | | | | | | | | |
| $Q_{\text{C}\equiv\text{N}}$ | 2348* | 2301 | 2273 | 8,57 | 89,5 | 2315 | 2287 | 9,02 | 97,9 |
| $Q_{\text{P}=\text{O}}$ | 1250 | 1277 | 1258 | 138 | 8,71 | 1284 | 1262 | 152 | 9,38 |
| Q_{NC} | 1238 | 1208 | 1169 | 28,2 | 0,81 | 1222 | 1181 | 31,3 | 1,00 |
| $Q_{\text{CO}}, Q_{\text{CC}}$ | 1025 | 1044 | 1004 | 238 | 3,36 | 1060 | 1016 | 249 | 3,51 |
| Q_{NC} | 993 | 1007 | 974 | 297 | 7,87 | 1016 | 987 | 313 | 8,85 |
| $Q_{\text{CC}}, Q_{\text{OP}}$ | 922 | 944 | 924 | 106 | 2,53 | 948 | 925 | 116 | 3,29 |
| $Q_{\text{OP}}, Q_{\text{CO}}$ | – | 773 | 760 | 43,3 | 6,27 | 781 | 769 | 47,9 | 6,95 |
| Q_{PN} | – | 719 | 706 | 119 | 17,1 | 723 | 712 | 121 | 17,8 |
| $Q_{\text{PC}}, \beta_{\text{OP}=\text{O}}^{**}$ | – | 586 | 578 | 71,2 | 3,61 | 592 | 585 | 81,1 | 4,40 |
| $R_{\text{CN}}, \gamma_{\text{COP}}$ | – | 502 | 497 | 25,3 | 1,63 | 505 | 499 | 28,2 | 2,06 |
| $\beta_{\text{CN}}, \beta_{\text{OPC}}^{**}$ | – | 494 | 489 | 3,39 | 1,11 | 496 | 490 | 4,83 | 1,31 |
| $\beta_{\text{O=PC}}$ | – | 438 | 431 | 4,40 | 0,47 | 440 | 435 | 4,72 | 0,53 |

СИСТЕМНЫЙ АНАЛИЗ И МАТЕМАТИЧЕСКОЕ МОДЕЛИРОВАНИЕ

| | | | | | | | | | |
|------------------------------------|------|-----|-----|------|------|-----|-----|------|------|
| β_{OPN} | — | 397 | 392 | 7,39 | 2,88 | 400 | 393 | 11,3 | 2,94 |
| β_{PNC} | — | 382 | 374 | 8,13 | 0,97 | 384 | 376 | 12,2 | 1,33 |
| β_{CNC} | 383* | 355 | 348 | 0,65 | 1,00 | 360 | 352 | 1,02 | 1,13 |
| $\beta_{OP=O}$ | — | 307 | 304 | 2,97 | 1,24 | 308 | 305 | 3,69 | 1,45 |
| $\beta_{PNC}, \gamma_{COP}$ | — | 273 | 267 | 6,69 | 0,41 | 278 | 270 | 7,12 | 0,44 |
| $R_{C\equiv N}$ | — | 241 | 214 | 1,57 | 0,23 | 246 | 235 | 2,69 | 0,34 |
| β_{PNC} | — | 228 | 222 | 7,32 | 0,62 | 229 | 227 | 8,42 | 0,65 |
| $\beta_{C\equiv N}^{**}$ | — | 164 | 158 | 0,99 | 1,09 | 168 | 162 | 2,56 | 1,81 |
| $\beta_{C\equiv N}, R_{C\equiv N}$ | — | 128 | 117 | 9,02 | 0,83 | 131 | 125 | 9,66 | 1,30 |

Результаты проведенного численного эксперимента для молекулы табуна, сравнение полученных результатов с имеющимися экспериментальными данными по колебательным спектрам соединения и его отдельных фрагментов позволяют сделать вывод о достоверности предсказательных расчетов геометрии и колебательных состояний фосфорорганических соединений в рамках метода функционала плотности DFT/B3LYP.

Библиографический список

1. **Березин, В. И.** Прямые и обратные задачи спектроскопии циклических и комплексных соединений : дис. ... д-ра физ.-мат. наук / В. И. Березин. – Саратов, 1983.
2. **Браун, П. А.** Введение в теорию колебательных спектров / П. А. Браун, А. А. Киселев. – Л. : Изд-во ЛГУ, 1983. – 223 с.
3. **Кон, В.** Электронная структура вещества – волновые функции и функционалы плотности / В. Кон // УФН. – 2002. – Т. 172, № 3. – С. 336–348.
4. **Минкин, В. И.** Теория строения молекул / В. И. Минкин, Б. Я. Симкин, Р. В. Меняев. – Ростов н/Д : Феникс, 1997. – 386 с.
5. **Мясоедов, Б. Ф.** Фрагментарные методы расчета ИК-спектров фосфорорганических соединений / Б. Ф. Мясоедов, Л. А. Грибов, А. И. Павлючко // Журнал структурной химии. – 2006. – Т. 47, № 3. – С. 449–456.
6. **Пулин, В. Ф.** Исследование динамики молекулярных соединений различных классов / В. Ф. Пулин, М. Д. Элькин, В. И. Березин. – Саратов : Изд-во СГТУ, 2002. – 546 с.
7. **Свердлов, Л. М.** Колебательные спектры многоатомных молекул / Л. М. Свердлов, М. А. Ковнер, Е. П. Крайнов. – М. : Наука, 1970. – 550 с.
8. **Элькин, М. Д.** Возможности информационной технологии Gaussian в моделировании колебательных спектров фосфорорганических соединений (GB-, GD-, GF-agents) / М. Д. Элькин, О. В. Колесникова, О. Н. Гречухина // Вестник СГТУ. – 2008. – № 2 (32), вып. 1. – С. 105–112.
9. **Элькин, М. Д.** Проявление межмолекулярного взаимодействия в димерах урацила / М. Д. Элькин, Е. А. Джамхамбетова, О. Н. Гречухина // Известия СГТУ. – 2008. – Т. 8, № 2 – С. 24–30.
10. **Эрман, Е. А.** Информационная технология Gaussian и структурно-динамические модели кислородосодержащих соединений / Е. А. Эрман, П. М. Элькин, О. Н. Гречухина // Вестник СГТУ. – 2009. – № 2 (39), вып. 2. – С. 108–114.
11. **Ernest, H.** FT-IR analysis of chemical warfare agents / H. Ernest, Jr. Braue, M.G. Pannella // Microchimica Acta. – 1988. – Vol. 94, № 1. – P. 11–16.
12. **Frisch, M. J.** Gaussian 03, Revision B.03; Gaussian / M. J. Frisch, G. W. Trucks, H. B. Schlegel et al. – Pittsburgh : Gaussian Inc., 2003.
13. **Mikawa, Y.** Polarized infrared spectra of single crystals of ethyl alcohol / Y. Mikawa, J. W. Brasch, R. J. Jakobsen // Spectrochimica Acta. – 1970. – Vol. 27A, № 4. – P. 529–539.
14. **Nielsen, H. H.** The vibration-rotation energies of molecules and their spectra in the infrared // Handbook der Physik. – 1957. – Vol. 37, № 1. – P. 173–313.